

高原生物学集刊

ACTA BIOLOGICA PLATEAU SINICA

第十三集 No. 13

中国科学院西北高原生物研究所 编辑

1995—1997



科学出版社

《高原生物学集刊》第二届编辑委员会

名誉主编：夏武平

主编：印象初

副主编：杜继曾 杨永昌

编委：（以姓氏笔画为序）

马世骏 王应祥 王香亭 王祖望

刘尚武 吕忠恕 李 博 李家藻

陈心启 陈集贤 周 俊 周立华

武云飞 胡旭初 娄朋逊 施鉴屏

徐 琪 鲁子贤 樊乃昌

高原生物学集刊

第十三集

ACTA BIOLOGICA PLATEAU SINICA

No. 13

中国科学院西北高原生物研究所 编辑

*

科学出版社出版

北京东黄城根北街 16 号

邮政编码：100717

中国科学院印刷厂印刷

新华书店北京发行所发行 各地新华书店经营

*

1997年6月第一版 开本：787×1092 1/16

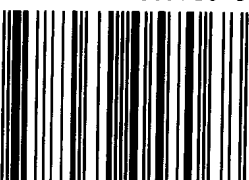
1997年6月第一次印刷 印张：19 1/2 插页：11

册数：1—550 字数：448 000

ISBN 7-03-005706-6/Q·683

定价：35.00 元

ISBN 7-03-005706-6



9 787030 057068 >

高原生物学集刊 第13集

(1995—1997)

目 录

- 四川无心菜属一新种 周立华 (1)
薰倒牛的细胞学和形态解剖学研究 黄荣福 (5)
中国西部高山的 9 种龙胆属植物的染色体数目和核型
..... 何廷农 刘建全 张定成 (19)
粗茎龙胆的核型分析 卢学峰 (21)
椭圆叶花锚的花药壁分化及小孢子和雄配子体的发育
..... 薛春迎 何廷农 刘建全 (27)
湿生扁蕾的胚胎学研究 刘建全 何廷农 (31)
从叶片表皮微形态特征探讨以礼草属、冰草属和旱麦草属间的系统关系
..... 蔡联炳 (43)
国产短芒大麦的叶片表皮结构及其在系统发育探讨中的意义
..... 蔡联炳 杨春红 (51)
祁连山地区兰科 (Orchidaceae) 植物区系与分布特征及其起源 邓德山 (63)
从北祁连山植物区系分析划定唐古特地区的东北部边界
..... 何廷农 刘尚武 卢学峰 邓德山 (69)
从植被分布探讨青藏高原与黄土高原的分界 杜 庆 (83)
青海森林及灌丛植被的三维分布 周筠琨 周立华 (89)
青藏高原高寒植被的若干理论问题 彭 敏 陈桂琛 黄荣福 (97)
青藏高原蝙蝠蛾科物种多样性与环境演化的关系 杨大荣 (107)
青海省草毒蛾属三新种记述 (鳞翅目: 毒蛾科)
..... 严 林 周 尧 刘振魁 梅洁人 霍科科 (121)
杨二尾舟蛾 (*Cerura menciana* Moore) 发育起点温度和有效积温的研究
..... 谢令德 (127)
青海湖盆地脊椎动物考察研究简史及其物种名录 李来兴 (133)
卤虫卵 (*Artemia*) 营养成分的比较研究 索有瑞 胡凤祖 师治贤 (147)
高原鼢鼠和中华鼢鼠骨骼无机化学成分的研究 I. 常量元素
..... 索有瑞 伊甫申 张宝琛 (159)
高原鼢鼠和中华鼢鼠骨骼无机化学成分的研究 II. 必需微量元素
..... 伊甫申 索有瑞 张宝琛 (159)
新型复合饲料添加剂的筛选 I. 饲料添加剂载体的筛选 伊甫申 索有瑞 (167)

- 青海牦牛体内倍硫磷的气相色谱分析 赵静玫 胡凤祖 师治贤 (175)
反相液相色谱柱填料的制备及在蛋白质分离中应用 师治贤 邵云 (179)
蛋白质在不同的高效液相色谱模式上的分离 师治贤 (183)
反相离子对色谱对麻黄碱药物的分析 胡凤祖 赵静玫 邵云 师治贤 (191)
唐古特羌挥发油化学成分的研究 张晓峰 (195)
小麦族植物作为遗传育种资源的初评 王世金 李健华 (201)
高寒草甸生态系统微气候和植物的生理生态适应性 III. 高山植物光合作用研究
..... 贲桂英 师生波 韩发 (217)
中麻黄离体培养及麻黄生物碱含量 I. 中麻黄离体培养及愈伤组织的生长
..... 李毅 赵绪兰 刘辉 (225)
中麻黄离体培养及麻黄生物碱含量 II. 离体培养下中麻黄的生物碱含量
..... 李毅 赵绪兰 刘辉 纪兰菊 (231)
春小麦剑叶气孔导度、蒸腾量的日变化 黄相国 (237)
(栽培二粒小麦×大赖草) 后代的细胞遗传学研究
..... 冯海生 陈集贤 高国强 赵绪兰 (243)
春小麦与野燕麦竞争的实验研究 肖瑜 周立 黄相国 (251)
生根粉在高原地区春小麦上的应用效果研究 韩发 (267)
ABT4号增产灵在高寒地区油菜生产上的应用及增产机理研究 韩发 (273)
ABT5号增产灵在马铃薯生产上的应用试验 韩发 (281)
天然和人工油松林生长过程的研究 肖瑜 周立 (287)
青海三种主要麻黄的鞣质及微量元素含量分析 张晓峰 胡伯林 (301)
宽叶独行菜中十六种元素的动态含量 张晓峰 胡伯林 (303)

Acta Biologica Plateau Sinica No. 13

(1995—1997)

CONTENTS

A new species of <i>Arenaria</i> L. from Sichuan, China	Zhou Lihua (1)
Cytological and morpho-anatomical studies of <i>Biebersteinia heterostemon</i> Maxim.	Shen Songdong and Huang Rongfu (8)
The karyotypes and chromosome numbers in nine species of <i>Gentiana</i> from alpine mountains of Western China	Ho Tingnong, Liu Jianquan and Zhang Dingcheng (9)
The karyotype analysis of <i>Gentiana crassicaulis</i> Duthie-ex Burk.	Lu Xuefeng (25)
Differentiation of the anther wall and the development of microsporogenesis and male gametophyte in <i>Halenia elliptica</i> D. Don	Xue Chunying, Ho Tingnong and Liu Jianquan (30)
Embryology of <i>Gentianopsis Paludosa</i> (Fr.) Ma	Liu Jianquan and Ho Tingnong (40)
A research on the systematic relationships among <i>Kengyilia</i> , <i>Agropyron</i> and <i>Erem -</i> <i>opyrum</i> with special reference to the leaf epidermal characters	Cai Lianbing(49)
Epidermal structures of leaf blades of <i>Hordeum brevisubulatum</i> from China and its significance in phylogenetic research ...	Cai Lianbing and Yang Chunhong(60)
The floristic and distribution characteristics of Orchidaceae and its origin in the Qilian Mountain Region	Deng Deshan(67)
From Bei - Qilianshan floristic analysis to determine the northeastern margin of Tan - gut flora	Ho Tingnong, Liu Shangwu, Lu Xuefeng and Deng Deshan(82)
The probe of the boundary between the Qinghai - Xizang Plateau and the Loess Pla - teau regions for vegetation	Du Qing(88)
Three-dimension distribution of forest and shrub vegetation in Qinghai	Zhou Yunjun and Zhou Lihua(95)
Some problems about altifrigetic vegetation of Qinghai-Xizang Plateau	Peng Min, Chen Guichen and Huang Rongfu(106)
Relationship between species diversity of Hepialidae and environmental evolution in	

Qinghai-Xizang Plateau (Insecta:Lepidoptera)	Yang Darong(120)
Three new species of <i>Gynaephora</i> (Lepidoptera;Lymantriidae)from Qinghai	
..... Yan Lin,Chou Yao,Liu Zhenkui,Mei Jieren and Huo Keke(125)	
A study on the threshold of development and the temperature of constant of <i>Cerura menciana</i> Moore	Xie Lingde(132)
Investigation history and a systematic list of vertebrate in Qinghai Lake basin	Li Laixin(146)
A comparative study on nutritional composition of <i>Artemia</i>	
..... Suo Yourui,Hu Fengzu and Shi Zhixian(152)	
Studies on inorganic chemical composition in skeletons of <i>Myospalax baileyi</i> and <i>M. fontanieri</i> I. Macroelements	
..... Suo Yourui,Yi Fushen and Zhang Baochen(158)	
Studies on inorganic chemical composition in skeletons of <i>Myospalax baileyi</i> and <i>M. fontanieri</i> II. Essential trace elements	
..... Yi Fushen,Suo Yourui and Zhang Baochen(165)	
Studies on the new compound feed additives I . The sifting of the carrier for feed additives	Yi Fushen and Suo Yourui(174)
Gas chromatographic analysis of micro - residue of fenthion from tissues of <i>Bos</i> <i>grunniens</i> in Qinghai	Zhao Jingmei,Hu Fengzu and Shi Zhixian(178)
Synthesis of packing material for reversed phase - HPLC and separation for proteins	Shi Zhixian and Shao Yun(182)
The separation proteins on different HPLC model	Shi Zhixian(190)
Analysis of ephedrine and pseudoephedrine by reversed - phase ion - pair liquid chroma- tography	Hu Fengzu,Zhao Jingmei,Shao Yun and Shi Zhixian(194)
Study on the chemical constituents of volatile oil from <i>Caryopteris tangutica</i> Maxim	Zhang Xiaofeng(199)
A preliminary introduction and evaluation of heredity - breeding resources in tribe <i>Triticeae</i>	Wang Shijin and Li Jianhua(216)
Microclimate in alpine meadow ecosystem and the ecophysiological adaptations of plants Ⅲ . Study of photosynthesis in alpine plants	
..... Ben Guiying,Shi Shengbo and Han Fa(224)	
<i>Ephedra intermedia</i> in vitro culture and its alkaloid content I . <i>Ephedra interme-</i> <i>dia</i> in vitro culture and the growth of calli	
..... Li Yi,[Zhao Xulan] and Liu Hui(230)	
<i>Ephedra intermedia</i> in vitro culture and its alkaloid content Ⅱ . The alkaloid content of <i>Ephedra intermedia</i> callus	
..... Li Yi,[Zhao Xulan],Liu Hui and Ji Lanju(236)	

- Study on the diurnal change of stomatal conductance and transpiration value of spring wheat flag leaves Huang Xiangguo(242)
- Studies on cytogenetics of hybrids derived from (*Triticum dicoccum* × *Leymus giganteus*) Feng Haisheng , Chen Jixian , Gao Guoqiang and Zhao Xulan(249)
- Experiments on competition between pure and mixed populations of spring wheat and wild oats Xiao Yu , Zhou Li and Huang Xiangguo(266)
- Studies on application effects of root inducing powder in spring wheat culture in high elevation and cold region Han Fa(272)
- The studies on application effects and increase in yield mechanism of ABT 4 plant-growth regulator in rape culture in high elevation and cold region Han Fa(280)
- Application experiments of the ABT 5 plant - growth regulator in potato culture in plateau region Han Fa(285)
- Comparisons between Chinese pine natural forests and plantations (*Pinus tabulaeformis* Carr.) in growth process Xiao Yu and Zhou Li(299)
- Study on the tannin and mineral in three species *Ephedra* of Qinghai Zhang Xiaofeng and Hu Bolin(301)
- On the dynamic content of 16 mineral elements in *Lepidium latifolium* Zhang Xiaofeng and Hu Bolin(303)

四川无心菜属一新种

周 立 华

(中国科学院西北高原生物研究所, 西宁, 810001)

A NEW SPECIES OF *ARENARIA* L. FROM SICHUAN, CHINA

Zhou Lihua

(Northwest Plateau Institute of Biology, The Chinese Academy of Sciences, Xining, 810001)

摘要

在编写《中国植物志》26卷石竹科无心菜属时, 所用崔友文教授遗留于标本上的一新种——海子山老牛筋 *Arenaria haitzeshanensis* Y. W. Tsui, 虽然1993年吴征镒教授在《横断山区维管植物》上册已发表, 但仅有学名没有特征记载而成为裸名(*nomen nudum*), 现将特征记述如下。

关键词: 无心菜属; 海子山老牛筋

海子山老牛筋 新种 图 1: 1—7

Arenaria haitzeshanensis Tsui ex C. Y. Wu sp. nov.

Haec species *A. capillaris* Poir. et *A. acicularis* Williams ex Keissler affinis, sed rhachidibus foliis non nisi longiusculis, multivillosis autem aglandulosis, sepalis petalis longioribus, 6—7 mm. longe valde insignis.

Herba perennis pulvinata, 6—10 cm. alta. Radix conica, lignea, atro-brunnea. Caules dense caespitosi. Folium basale lineare, 2—5 cm. longum, circ. 1 mm. latum, basi latioyum apice actum; folia caulina 2—3-jugata, subulata vel linearisubulata, 1—2 cm. longa, 1—2 mm. lata, basi latiora, apice pungentia, margine anguste membracae, dorso protuberante 1-nervia. Cyma 1—3 flora, rhachidibus dense villoso. Bracteae lanceolatae, 6—7 mm. longae, basi latiore, apice pungentes, margine membracae. Sepala

本文 1995 年 10 月 13 日收到。



图1 1—7. 海子山老牛筋: 1. 全株; 2. 叶放大; 3. 萼片; 4. 花展开; 5. 雄蕊、花瓣和萼片;
6. 雌蕊; 7. 种子。(阎翠兰绘)

Fig. 1 1—7. *Arenaria haitzeshanensis*: 1. Habitus; 2. Folium amplia tum; 3. Sepalum; 4.
Flos patens 5. Stamen, petalum and Sepalum; 6. Pistillum; 7. Semen.

lanceolata, 6—7 (8) mm. longa, basi crassi uscula, apice acuta, margine anguste membranacea, dorso 1—3 nervia. Petala alba, ovata, calycibus 3/5 longiora. Ovarium ovoideum circ. 2mm. longum, stylis 3, 2—3 mm. longis.

W. Sichuan: Dege, Haizishan, alt. s. m. 3 800 m, alpine meadow, Sichuan Exped. D-7 475 (Typus! in Herb. WUG conservatus)

Xizang: Jiangda, Qinghai-Xizang Exped. 12477.

多年生垫状草本，高 6—10 厘米。根圆锥形，木质化，黑褐色。茎紧密丛生。基生叶线形，长 2—5 厘米，宽约 1 毫米，基部较宽，顶端锐尖；茎生叶 2—3 对，钻形或线状钻形，长 1—2 厘米，宽 1—2 毫米，基部较宽，顶端具刺状尖；边缘窄膜质，具突起的 1 脉。花序聚伞形，具 1—3 花，花序轴密被长毛；苞片披针形，长 6—7 毫米，基部较宽，顶端具刺状尖，边缘膜质；萼片披针形，长 6—7 (8) 毫米，基部加厚，顶端锐尖，边缘窄膜质，具 1—3 脉；花瓣白色，卵形，长约为萼片的 3/5；子房卵圆形，长约 2 毫米，花柱 3，长 2—3 毫米。

本种花序轴长度仅略超过叶长，上面多长毛而无腺毛；萼片长 6—7 毫米，超过较短的花瓣，而既不同于毛叶老牛筋 *Arenaria capillaris* Poir. 也不同于针叶老牛筋 *A. acicularis* Williams ex Keissler.

四川西部：德格，海子山，生于高山草甸，海拔 3 800 米，四川调查队德字 7 475 (模式，存西北植物所标本室)。

西藏：江达，青藏考察队 12477。

薰倒牛的细胞学和形态解剖学研究

沈颂东 黄荣福

(中国科学院西北高原生物研究所, 西宁, 810001)

摘要

首次报道了薰倒牛植物的染色体数目并进行了核型分析。薰倒牛的染色体数目为10, 基数是5, 为2倍体。核型公式 $K(2n)=2x=10=2m+8sm$, 未见随体, 属于2A核型。通过石蜡切片对薰倒牛的根、茎、叶和花做了解剖学研究, 观察到了茎中维管束有异常次生结构, 叶上表皮一层细胞排列不整齐, 栅栏组织致密, 气孔分布于下表皮等旱生结构。并对其形态——生态学适应作了探讨。

关键词: 薰倒牛; 细胞学; 核型分析; 解剖学; 形态-生态学适应

薰倒牛属 (*Biebersteinia Stephan ex Fisch.*) 共有5个种, 是牻牛儿苗科 (Geraniaceae) 中的一个特殊类群, 仅薰倒牛 (*B. heterostemon Maxim.*) 1种产于青藏高原东北部, 其余4种产于欧洲、西亚、中亚至我国西藏西部, 显然为地中海—中亚分布类型。由于其特殊的形态特征和孢粉学特征, Bortenschlager (1967) 认为薰倒牛属应提升为科级分类单位, 并认为它同蔷薇科委陵菜族 (Potentilleae) 相近, 而远不同于牻牛儿苗科其它类群。薰倒牛为一年生草本植物, 仅分布于我国青海、甘肃、宁夏、新疆、四川和西藏, 为青藏高原特有植物, 生长于1600—3200米的路边、山坡等地。藏药名为明见赛宝, 苦、辛、寒、治痈疖、丹毒、喉痛、胃痛、全身水肿和中风等症。张晓峰等 (1995) 从中提取了2种新的天然产物, 其中之一为N-3-甲基-2-丁烯基脲, 有镇痛、降压, 并有一定增强免疫功能的作用。然而, 由于薰倒牛分布的局限性, 使其一直未能得到系统和细致的研究。本文拟对薰倒牛的形态解剖学和细胞学作一初步研究, 为讨论该属植物的分类地位提供资料, 并讨论其形态结构与生态适应的关系。

一、材料和方法

薰倒牛采自西宁植物园后山, 海拔2300米的干旱山坡。

本文1995年11月9日收到。

1. 细胞学观察

取部分幼花经 0.1% 秋水仙碱处理 4 小时, 卡诺 (3 : 1) 固定液固定, 70% 乙醇保存, 供压片用。

将幼花在解剖镜下剥出子房壁, 以浓盐酸-乙醇 (1 : 1) 解离液在室温下解离 10 分钟, 水洗后用改良苯酚品红染色液染色过夜, 压片镜检, 选取 50 个有中期分裂相的细胞, 计数染色体数目, 选取分散较好的分裂相进行显微摄影, 按李懋学等 (1985) 和 Levan et al. (1964) 的标准进行核型分析, 以染色体长度排序编号。

2. 解剖学观察

全草各部分均分割为小块, FAA 固定液固定, 70% 乙醇 (0—4°C) 保存, 供切片用。常规石蜡切片法制片, 番红-固绿对染, 切片厚度 7—10 微米。加拿大树胶封片。用 Olympus 显微镜观察并照相。

染色体玻片标本和切片的永久封片标本均保存于中国科学院西北高原生物研究所细胞学实验室, 薰倒牛凭证标本存于中国科学院西北高原生物研究所植物标本馆。

二、实验结果及讨论

1. 核型分析

经显微观察, 统计 50 个具有较好的细胞中期分裂相的细胞染色体数目均为 10, 染色体基数为 5, 为二倍体。

对显微照片 (图版 I : A) 进行测量, 计算, 结果见表 1。核型公式为 $K(2n)=2x=10=2m+8sm$, 未见随体。其中只有第 4 条染色体为中部着丝点的, 其余均为近中部。染色体组总长度为 9.167 微米, 染色体绝对长度变动于 1.57—2.00 微米之间; 最长染色体和最短染色体的比为 1.20, 小于 2.00; 臂比大于 2.00 的染色体百分数为 0.40, 按 Stebbins (1971) 的标准为 2A 型。

表 1 薰倒牛的核型分析结果

Table 1 The karyotype analysis result of *B. heterostemon*

序号 Number	相对长度 Relative length	臂比 Arm Ratio	类型 Classification
1	$6.91+14.91=21.82$	2.16	sm
2	$7.27+13.64=20.91$	1.88	sm
3	$5.45+14.54=19.99$	2.67	sm
4	$8.18+10.91=19.09$	1.33	m
5	$6.37+11.82=18.18$	1.86	sm

薰倒牛的染色体基数是 5 和牻牛儿苗科其它属的染色体基数不同 (*Erodium* $x=9$ 或 10 ; *Geranium* $x=7$; *Pelargonium* $x=9$ 或 11), 也和蔷薇科委陵菜族各属的染色体基数

(基本为 7) 不同, 由于其特殊的形态特征和孢粉学特征, Bortenschlager (1967) 把薰倒牛属提升为科级分类单位, 并认为它同薔薇科委陵菜族相近, 而远不同于牻牛儿苗科其它类群。从染色体数目来看把薰倒牛属独立成科是有道理的。

2. 形态解剖学特征

一年生草本, 高 30—150 厘米。根细圆柱状, 直立, 周皮较厚, 红褐色, 木质化发达, 未见韧皮部和形成层(图版 I : B)。全体有棕褐色头状并具有分泌道的蜜腺毛(图版 I : C) 和白色单细胞的长柔毛(图版 I : D)。腺毛可分泌难闻的黏稠物质。茎表皮由 3—4 层细胞构成, 排列比较整齐; 表皮内主要由薄壁组织构成; 维管束分 2 轮排列, 束与束之间有薄壁细胞构成的束间区域(髓射线)。维管束由韧皮部, 1 层形成层和木质部 3 部分构成, 外韧式。(图版 I : E、F), 茎中维管束的这种排列方式是一种异常次生结构。叶互生, 三回羽状深裂, 小裂片条状披针形; 上下表皮均分布有疏微柔毛, 上表皮由一层大小不同的细胞构成, 细胞呈波浪状排列, 其上极少见到气孔; 叶肉组织有栅栏组织和海绵组织的分化, 栅栏组织细胞一层, 排列致密, 叶绿体小, 沿着栅栏组织细胞的壁排列, 海绵组织细胞排列疏松, 胞间隙发达; 气孔主要分布于下表皮, 气孔下有较大的气孔腔(图版 I : G、H)。顶生圆锥花序, 长达 40 厘米, 花黄色, 整齐多数, 萼片 5 片, 短渐尖, 长 4—5 毫米, 花瓣 5 枚, 淡黄色, 倒卵形, 略短于萼片, 顶端波状。雄蕊 2 轮, 5+5, 共 10 枚, 子房上位, 5 心皮 5 室(图版 II : K)。柱头顶端相连成环, 花柱分离(图版 II : J)。心皮基部合生, 蒴果不开裂, 内含 1 粒种子。在子房基部有无分泌道的花蜜腺(图版 I : I), 花蜜腺里充满了薄壁组织。

从观察结果可以看出, 薰倒牛茎中存在异常次生结构, 即维管束分 2 轮排列。有关这种结构已有一些报道, 杨培军等(1993) 在沙蓬(*Agriophyllum squarrosum*) 中发现其轴中普遍存在异常次生结构, 他们认为包埋在厚壁或薄壁组织中的多轮异常维管束能较好的避免干旱, 是沙蓬充分适应沙生环境的结果。薰倒牛生长于 1 600—3 200 米的路边、河谷及山坡, 生境条件极为干旱, 在茎中出现异常次生结构, 是它对干旱环境的一种适应。另外, 薰倒牛叶片的形态结构特征如表皮上分布有疏微柔毛, 上表皮细胞大小不一, 排列不整齐, 栅栏组织细胞排列紧密等也是对干旱环境的一种适应。Openheimier (1960) 就曾经指出叶表皮细胞排列不规则是旱生植物的常见特征。另外, 薰倒牛气孔主要分布在下表皮、叶两面具表皮毛等特征又可防止水分散失, 由此可见, 薰倒牛是一个较为典型的旱生物种。

在薰倒牛叶片海绵组织中有十分发达的空隙腔, 是该植物对高山缺氧环境的适应, 关于植物体内存在有发达的通气组织的现象, 王为义(1985) 就曾经有过报道, 认为是高山植物普遍存在的一种特异性结构, 它有利于储藏气体, 是植物适应高原环境的结果。

参 考 文 献

- 王为义, 1980, 沙生槐抗旱性状的观察, 植物学报, 22 (3): 293—294。
王为义, 1985, 高山植物结构特异性的研究, 高原生物学集刊 (4): 19—31。
王为义、黄荣福, 1989, 垫状植物对青藏高原高山环境的形态——生态学适应的研究。高原生物学集刊 (9): 13—26。
李懋学、陈瑞阳, 1985, 关于植物核型分析的标准化问题, 武汉植物学研究, 3 (4): 297—302
沈颂东、王世金, 1993, 五种新麦草属植物的核型分析, 西北植物学报, 13 (6): 92—97。

- 张晓峰、胡伯林、周炳南, 1995, 藏药薰倒牛的活性物质研究, 药学学报, 30 (3): 211—214。
- 杨培军、张泓、张爱民、胡正海, 1993, 沙蓬旱生结构的研究, 西北植物研究, 13 (5): 48—52。
- Bortenschlager, S. 1967, Pollenmorph. D. *Geraniaceae*. Systemat. Bedeutung. *Grana Palynologica* 7 (2—3): 400—453.
- Levan, A., K. Fredga and A. A. Sandberg. 1964, Nomenclature for centrometric position on chromosome, *Hereditas* 52 (2): 201—220.
- Maximocicci, C. J. 1889, Flora Tangutica I: 104—105.
- Oppenheimier, H. R. 1960, Adaptation to drought; Xerophytism. *Arid Zone Res.* 15: 105—138.
- Stebbins, G. L. 1971, Chromosomal evolution in higher plants. Edward Arnold Ltd. London.

CYTOTOLOGICAL AND MORPHO-ANATOMICAL STUDIES OF *BIEBERSTEINIA HETEROSTEMON* MAXIM.

Shen Songdong and Huang Rongfu

(Northwest Plateau Institute of Biology, The Chinese Academy of Sciences, Xining, 810001)

The cytology and anatomy of *B. heterostemon* Maxim. were studied. The results showed that the chromosome number is $2n=10$ and it is a diploid plant, and that its karyotype formula is $K(2n)=2x=10=2m+8sm$, belonging to 2A type. It was also showed that structures of its root, leaf and stems were of the characteristics which adapt to dry environment and the high altitude, such as abnormal secondary structure in the stem, a layer irregular cells in the upper epidermis, tight palisade cells and the stomatas mainly in the lower epidermis. We think that the species is a xerophyte.

Key words: *Biebersteinia heterostemon* Maxim.; Cytology; Karyotype analysis; Plant anatomy; Morpho-ecology adaptability

THE KARYOTYPES AND CHROMOSOME NUMBERS
IN NINE SPECIES OF *GENTIANA* FROM
ALPINE MOUNTAINS OF WESTERN CHINA

Ho Tingnong and Liu Jianquan

(*Northwest Plateau Institute of Biology, The Chinese Academy of Sciences, Xining, 810001*)

Zhang Dingcheng

(*Department of Biology, Anhui Normal University, Wuhu, 241000*)

Abstract

The karyotypes and the chromosome numbers in nine species of the genus *Gentiana* (Tourn.) L. from the alpine mountains of western China are reported in the present paper. All the chromosome data for these species in this paper are recorded for the first time. In *Gentiana yunnanensis* Franch. the karyotype formula and the chromosome complement of relative length are $K(2n)=14=12m+2M=8M_2+6M_1$; in *G. aristata* Maxim. $K(2n)=18=14m+4M=8M_2+10M_1$; in *G. haynaldii* Kanitz $K(2n)=18=16m+2sm=8M_2+10M_1$. The karyotypes of three species all belong to Stebbins' type 1A and are symmetrical or subsymmetrical with low asymmetry indices (A_1 , A_2 and $As.$ $k\%$). In *G. burkii* H. Smith $K(2n)=32=26m+6sm=14M_2+16M_1+2S$ and in *G. vernayi* Marquand $K(2n)=26=24m+2sm=2L+12M_2+8M_1+4S$. Their karyotypes belong to Stebbins' type 2A or 1B respectively and are asymmetrical with high asymmetry indices (A_1 , A_2 and $As.$ $k\%$). The chromosome numbers are reported for four following species: *G. atuntiensis* W. W. Smith $2n=36$, *G. rigescens* Franch. ex Hemsl. $2n=36$, *G. pseudoaquatica* Kusnez. $2n=40$, and *G. squarrosa* Ledeb. $2n=76$. The karyotype evolution is distinctly correlated with geographical distribution progression. The more leaves the distribution centre, the more occur polyploid species.

Key words: *Gentiana*; chromosome number; karyotype; polyploid; geographical distribution.

The project was supported by the National Natural Sciences Foundation of China.

Received 13 November 1995.

Gentiana, a large genus including about 361 species, is widely distributed all over the world except in Africa. There are 247 species in China. Since last half century, *Gentiana* has been studied cytologically. However, most studies are concentrated on the accumulation of chromosome number counts, and only a few on karyology, such as those by Shigenbu (1984) and Yuan & Kupfer (1993). The karyotypes of five species and the chromosome number counts of four species are recorded for the first time in the present paper.

Materials and Methods

The materials used in this study were seeds of the Gentians. The seeds and the voucher specimens were collected at the same places of the field, and the specimens all were conserved in the herbarium of Northwest Plateau Institute of Biology, the Chinese Academy of Sciences (HNWP).

The seeds were germinated in peteri dishes on wet filter paper at room temperature. Root tips were pretreated in 0.002 mol/L 8-hydroxyquinoline for 15—20 hours at 4°C and then fixed with carnoy's solution (100% alcohol : glacial acetic acid=3 : 1) for at least four hours. After washing out the fixer completely with water, the root tips were macerated in 1 mol/L HCL at 60°C for 4—5 minutes, stained and squashed in a dilute solution of Carbol's fuchsing.

The chromosome numbers were counted from examined 50—100 cells for each species. The detailed karyotype analyses were microphotographed and measured from at least five cells. The observations of the chromosomes were made at mitotic metaphase.

The terminologies used for centromere positions are those defined by Leven et al. (1964). The calculated method of chromosome complement of relative length (I. R. L.) used by Kuo et al. (1972), the classification of karyotype asymmetry of Stebbins (1971), and the intrachromosomal asymmetry index (A_1) and the interchromosomal asymmetry index (A_2) proposed by Romero Zarco (1986) were followed.

Results

The measurements of the chromosomes in five species of *Gentiana* are listed in Table 1 and the karyotype analyses of these species in Table 2. The somatic chromosomes and karyograms are illustrated in Plate I and II.

The results are described as follows:

1. *Gentiana yunnanensis* Franch. (Sect. Microsperma T. N. Ho)

The somatic chromosomes are $2n=14$, $2x$. The karyotype consists of six pairs of metacentric chromosomes and one pair of exact metacentric chromosomes so the karyotype formula is $K(2n)=14=12m+2M$. The chromosome complement of relative length has four pairs of longer chromosomes and three pairs of shorter chromosomes. It can be formulated into $2n=14=8M_2+6M_1$. The length sum of the genome is of $15.22\mu m$ with